74

CONSTRUCTIERAPPORT
APPLICATIE C-LAMINATES

Behoort bij besluit
BWT 2569391
Gemerkt dgk3-14

Gemeente Amsterdam Centrum

1. PROJECTINFORMATIE

Project	: Bungehuis, Amsterdam
Datum	: 7 juli 2017
Opgesteld door	:
Namens	: MDW Engineering
Voor	: S&P Clever Reinforcement Company Benelux BV

2. OMSCHRIJVING

Het Bungehuis, voormalig pand van de Universiteit van Amsterdam, zal door de nieuwe eigenaar Aedes Real Estate worden verbouwd. In een eerder stadium is reeds lijmwapening berekend voor de 4e en de 6e verdieping.

In dit rapport wordt lijmwapening berekend voor een repeterende zone op de 2e en 3e verdieping. De zone wordt verzwakt doordat men een sparing van 1050x270 mm i.c.m. een sparing Ø150 mm dicht bij elkaar zal aan brengen. In het vervolg van dit rapport zal de aan te brengen hoeveelheid lijmwapening worden bepaald. Tevens wordt aangegeven waar de lamellen dienen te worden geplaatst.

3. VERANTWOORDING

Het ontwerp van de koolstofvezelwapening versterking is uitgevoerd aan de hand van de CUR-Aanbeveling 91 "Versterken van gewapend-betonconstructies met uitwendig gelijmde koolstofvezelwapening". De aangehouden belastingfactoren zijn in overeenstemming met ir. Coert Doomen conform de Eurocode EN-1992-1-1.

Door ir. Doomen van Van Rossum Raadgevende Ingenieurs is een notitie opgesteld met de aan te houden gegevens voor het opstellen van de lijmwapening: "8815-N07 Uitgangspunten lijmwapening dd 27.06.2017".

VAN ROSSUM RAADGEVENDE INGENIEURS
Westblaak 5e
3012 KC Rotterdam
rotterdam@vanrossumbv.nl
www.vanrossumbv.nl

0 Geen opmerkingen
0 Zie opmerkingen
0 Indiening BWT
0 Ter informatie
Datum: 13-07-2017
Paraaf: CD

Gecontroleerd op constructieve uitganspunten

MDW ENGINEERING

4. ONTWERP & BEREKENING

4.1 UITGANGSPUNTEN

Voor het ontwerpen en berekenen van de CFRP-versterking zijn de volgende uitgangspunten aangehouden.

BETONCONSTRUCTIE

- De betonvloer op de 2e en 3e verdieping heeft een dikte van 140 mm waarvan slechts 90 mm constructief is.
- De vloer heeft een betonkwaliteit van C20/25.
- Er wordt uitgegaan van een dekking op de wapening van 15 mm.
- De hechtsterkte van het beton bedraagt minimaal 1,5 N/mm².

STAALWAPENING

- De wapeningskwaliteit is FeB220 met een vloeispanning van 220 N/mm².
- De aanwezige wapening op de 2e en 3e verdieping bedraagt:

- veldwapening	Ø10 – 110 mm (714 mm² / m).
- steunpuntswapening	Ø10 – 110 mm + Ø8 – 220 mm (942 mm² / m).

KOOLSTOFVEZELWAPENING

- Er wordt uitgegaan van een vloeirek van de koolstofvezelwapening van ε = 5‰. Dit is een conservatieve aanname.

BELASTINGCOMBINATIES

- In Tabel 1 zijn de maatgevende belastingcombinaties q_0, q_{BGT} en q_{UGT} gegeven per vloer.

Tabel 1 - Maatgevende belastingcombinaties voor de 2e en 3e vloer.

Belastingcombinaties		
		[kN/m²]
2e + 3e Verdieping	q_{UGT}	8,70
	q_{BGT}	6,50
	q_0	4,20

4.2 SITUATIE

Op de 2e en de 3e verdieping worden een ronde sparing (Ø150 mm) en een rechthoekige sparing (1050 x 270 mm) aangebracht. Uit versterkingsperspectief wordt aangenomen dat beide sparingen als één sparing fungeren. Deze samengestelde sparing is rood omkaderd in Figuur 1. Versterking zal dan ook om deze fictieve sparing heen worden aangebracht.

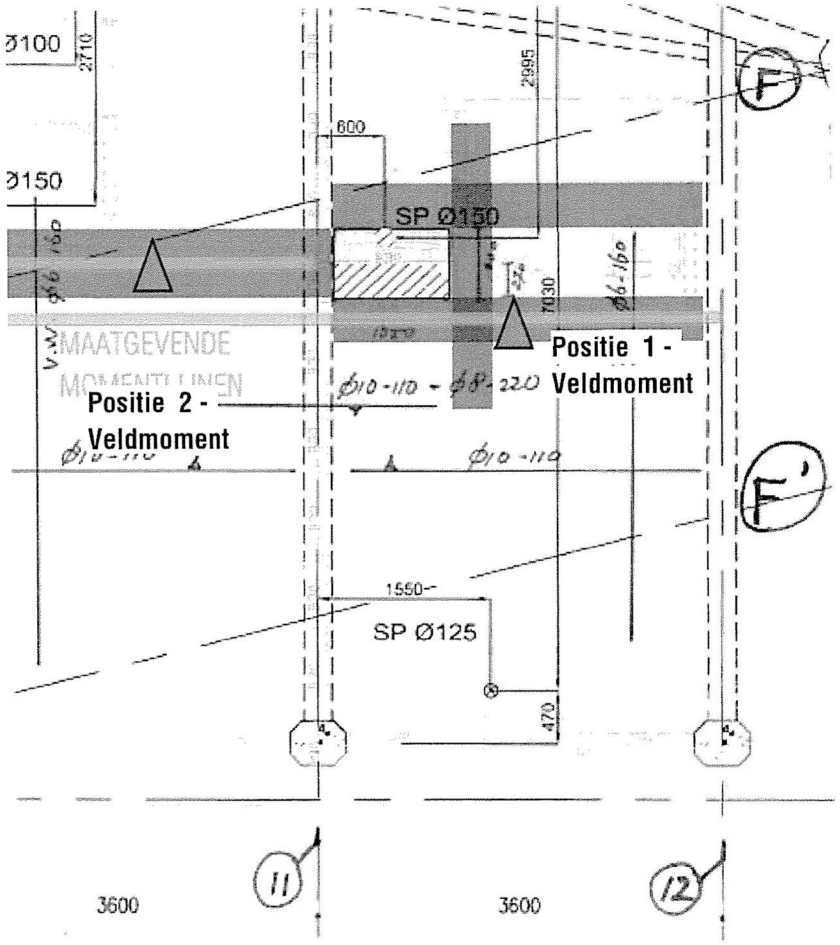

Figuur 1 - De huidige situatie op de 2e en 3e verdieping. In rood gearceerd: de rechthoekige en ronde sparingen die zullen worden verwijderd. Samen zullen zij worden geschematiseerd als één sparing – in rood omkaderd. Blauw gemarkeerd: de zones die moeten worden versterkt. In groen de momentlijnen die maatgevend zijn en worden gecontroleerd.

4.3 ONTWERP

Het versterkingsconcept voor de 2e en 3e Verdieping is in Figuur 2 aangegeven. In Figuur 3 en 4 kunnen deze in meer detail worden weergeven. Langs de sparingen wordt met behulp van de aangegeven lamellen hersteld voor de wapening die wordt doorgesneden. Conform de uitgangspunten opgesomd door ir. Doomen wordt de belasting in het oranje kader afgeleid naar de zijkant (zie de groene peilen) met behulp van de groene lamel. In de naastgelegen strook leidt dat tot een hoger moment, waarvoor met behulp van de doorgaande lamellen wordt versterkt.

Omdat door het aanbrengen van de sparing het linker naastgelegen veld wijzigt van een tussenveld naar een eindveld moet versterking worden aangebracht in de vorm van een lamel.

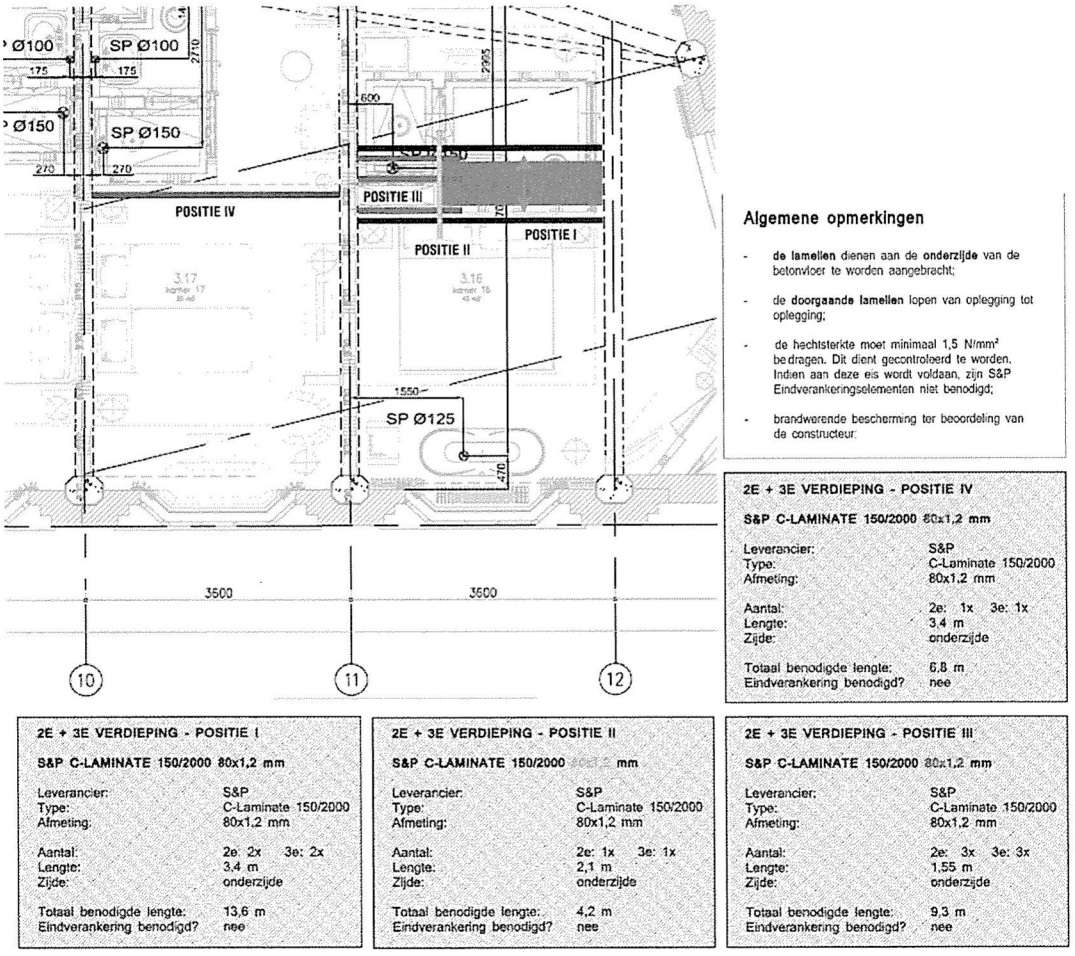

Figuur 2 - Versterkingsplan voor de 2e en 3everdieping.

In Figuur 3 en 4 wordt het versterkingsplan in meer detail weergegeven. De in paars aangegeven lamellen lopen van oplegging tot oplegging door. De groene dwarslamel wordt als laatste geplakt en ligt dus het meest ver van de betonconstructie af.

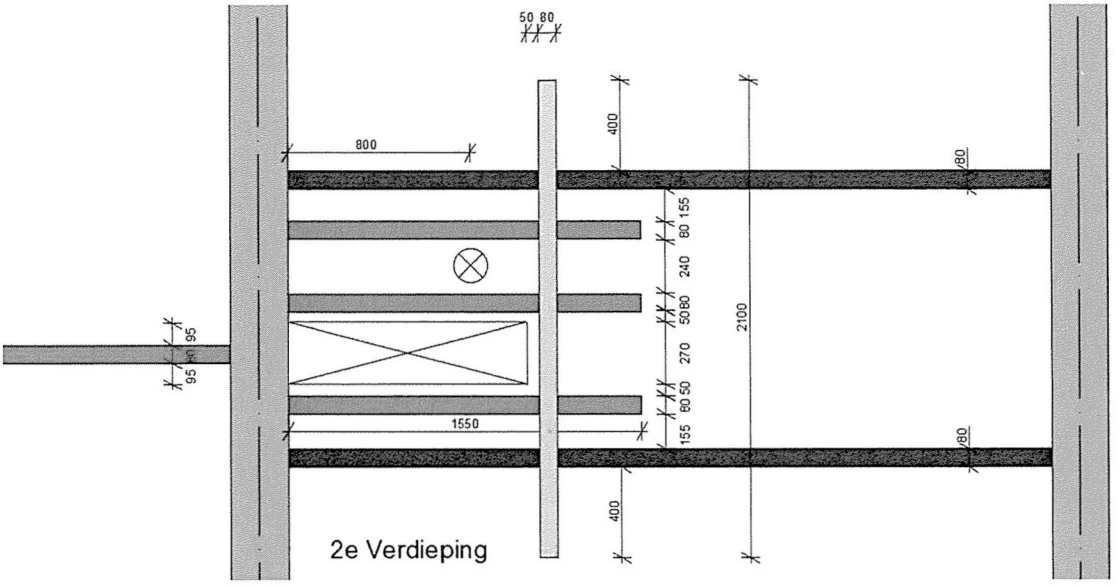

Figuur 3 - Het versterkingsplan van de 2e verdieping in detail.

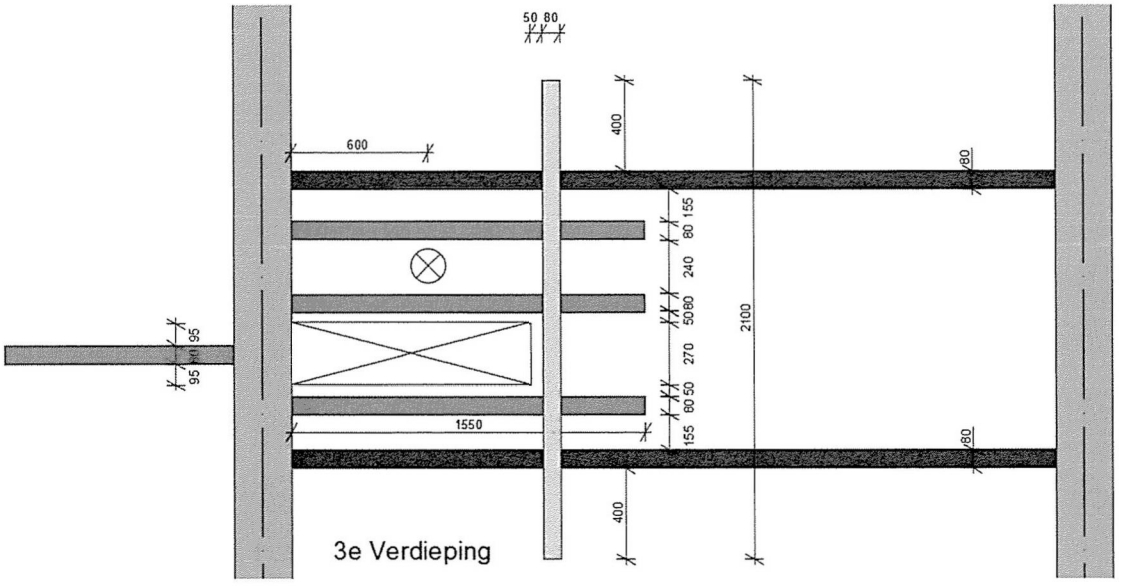

Figuur 4 - Het versterkingsplan van de 3e verdieping in detail.

TOTAAL BENODIGDE HOEVEELHEID

De totaal benodigde hoeveelheid wordt in Tabel 2 weergegeven.

Tabel 2 - De totaal benodigde hoeveelheid ter versterking.

TOTALE HOEVEELHEID (2E + 3E VERD.)
S&P C-Laminate 150/2000 80x1,2 mm = 33,9 m

4.4 BEREKENING

Positie 1 en 2 zoals weergegeven in Figuur 1 zijn met behulp van software *S&P Lamella 5.5.2.* gecontroleerd op constructieve capaciteit. Hieronder worden de belangrijkste parameters samengevat. Voor de volledige controle wordt er naar Bijlage 2 verwezen.

POSITIE 1 - VELDMOMENT

Er is gekozen om het systeem te schematiseren als ligger op 3 steunpunten. Doordat de zone die op Figuur 1 rood is omkaderd is verzwakt, wordt deze beschouwd als ongeschikt om de krachten op te nemen. Er is voor gekozen om de krachten in het naastgelegen veld af te leiden, conform de groene peilen, naar de boven- en onderzijde, zoals in het versterkingsconcept in Figuur 2 is weergegeven.

In Figuur 5 is het krachtschema weergegeven. Voor de uiterste grenstoestand is gecontroleerd of de maximale moment- en dwarskrachtcapaciteit van de constructie niet worden overschreven.

Voor de bruikbaarheids grenstoestand is de beton- en betonstaalspanning gecontroleerd op het niet overschrijden van de vloeispanning.

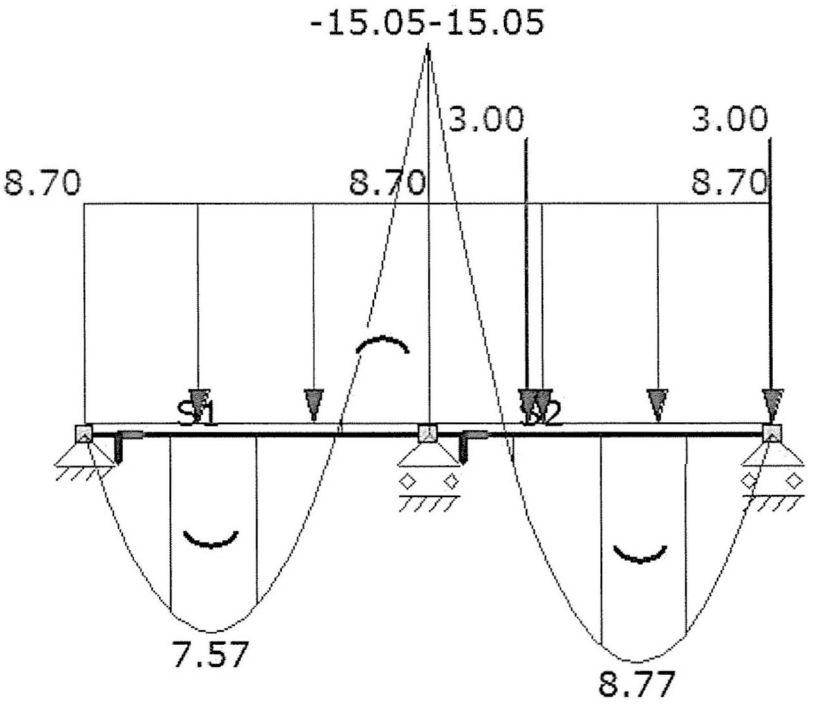

Figuur 5 - Momentlijn zoals gehanteerd voor het berekenen van de benodigde versterking voor Positie 1.

UITERSTE GRENSTOESTAND

- Het maximale opneembare moment van de onversterkte doornede bedraagt 8,8 kNm. Versterking is theoretisch gezien niet benodigd aangezien een buigend moment van eveneens 8,8 kNm zal moeten worden opgenomen. Omdat de constructie zeer dun is en de unity check op de rand van veilig/onveilig zit, wordt er voor gekozen om het veldmoment toch te versterken.

  Het maximale opneembare moment van de met koolstofwapening versterkte doornede bedraagt 18,6 kNm.

- De krommingsindex bedraagt 1,69 wat aantoont dat de constructie over voldoende waarschuwingscapaciteit beschikt. De constructie zal daarom, na het vloeien van de wapening, zichtbaar vervormen alvorens de constructie zou bezwijken, bij het verder opvoeren van de belasting.

BRUIKBAARHEIDS GRENSTOESTAND

- De betondrukspanning bedraagt 5,8 N/mm^2. Volgens de Eurocode bedraagt de toegestane drukspanning 20/1,5 = 16,7 N/mm^2
- De rek in het staal bedraagt 0,457 ‰, na het aanbrengen van de wapening. De constructie zal daarom niet overmatig doorbuigen, de vloeigrens bedraagt namelijk 0,957‰.
- Voor de milieuklassen X0 en XC1 is geen controle op scheurwijdte benodigd. Het niet vloeien van het staal wil wel zeggen dat de scheurwijdte beheerst is.

VERANKERINGSLENGTE

- De lamellen zullen aan elke zijde zo ver mogelijk moeten doorlopen tot de oplegging. Indien de hechtsterkte meer dan 1,5 N/mm^2 bedraagt, zijn er geen S&P Eindverankeringselementen benodigd.

DWARSKRACHTSCHEUREN

- De maximale dwarskrachtcapaciteit voordat onthechting bij dwarskrachten optreedt bedraagt 93,7 kN. De maximale optredende dwarskracht bedraagt slechts 22,0 kN.
- Eindverankering bij dwarskrachtbreuk treedt slechts op bij een dwarskracht van 191,5 kN, terwijl de optredende dwarskracht de 22,0 kN niet overschrijdt.
- Aan de slankheidseis wordt voldaan met een λ van 5,96.

POSITIE 2 - VELDMOMENT

Doordat de sparingen worden aangebracht wordt verandert de krachtsituatie in de strook links van de sparingen. Het veld, wat oorspronkelijk een tussenveld was, transformeert naar een eindveld. Opnieuw worden de moment- en dwarskrachtcapaciteit gecontroleerd in de UGT, en de in de BGT de geldende spanningen in het beton en staal.

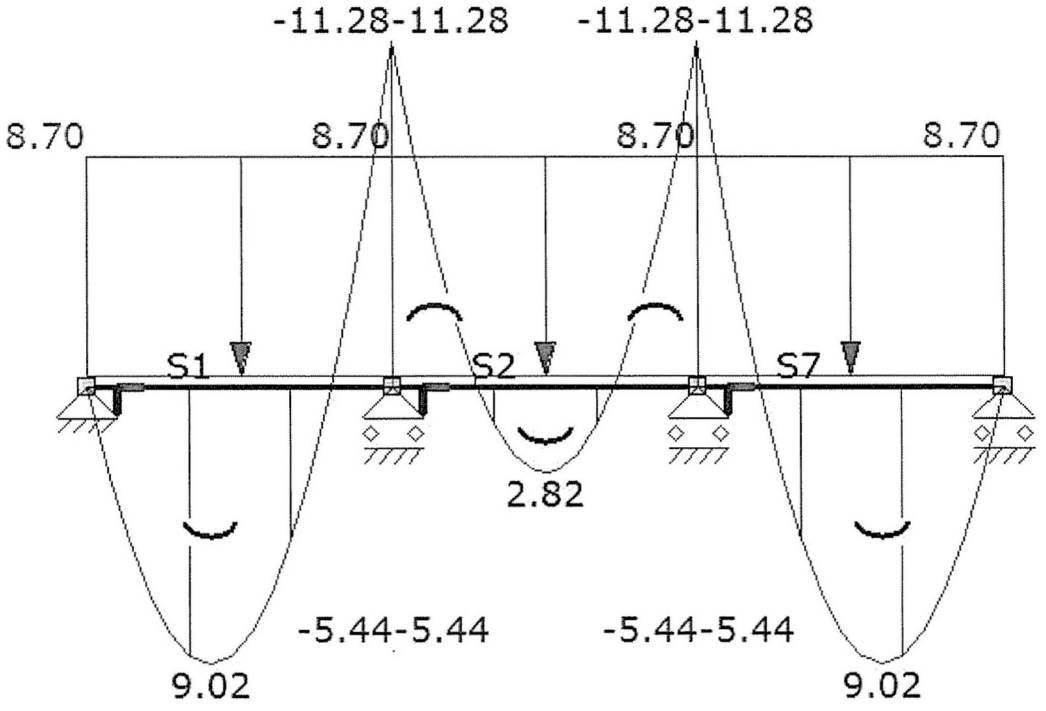

Figuur 6 - De geldende momentlijn voor berekening van Positie 2.

UITERSTE GRENSTOESTAND

- Het maximale opneembare moment van de onversterkte doornede bedraagt 8,8 kNm. Het optredende moment bedraagt 9,0 kNm. Constructieve versterking is dus benodigd.

  Het maximale opneembare moment van de met koolstofwapening versterkte doornede bedraagt 18,8 kNm.

- De krommingsindex bedraagt 2,09 wat aantoont dat de constructie over voldoende waarschuwingscapaciteit beschikt. De constructie zal daarom, na het vloeien van de wapening, zichtbaar vervormen alvorens de constructie zou bezwijken, bij het verder opvoeren van de belasting.

BRUIKBAARHEIDS GRENSTOESTAND

- De betondrukspanning bedraagt 7,4 N/mm^2. Volgens de Eurocode bedraagt de toegestane drukspanning 20/1,5 = 16,7 N/mm^2
- De rek in het staal bedraagt 0,663 ‰, na het aanbrengen van de wapening. De constructie zal daarom niet overmatig doorbuigen, de vloeigrens bedraagt namelijk 0,957‰.
- Voor de milieuklassen X0 en XC1 is geen controle op scheurwijdte benodigd. Het niet vloeien van het staal wil wel zeggen dat de scheurwijdte beheerst is.

VERANKERINGSLENGTE

- De lamellen zullen aan elke zijde zo ver mogelijk moeten doorlopen tot de oplegging. Indien de hechtsterkte meer dan 1,5 N/mm^2 bedraagt, zijn er geen S&P Eindverankeringselementen benodigd.

DWARSKRACHTSCHEUREN

- De maximale dwarskrachtcapaciteit voordat onthechting bij dwarskrachten optreedt bedraagt 93,7 kN. De maximale optredende dwarskracht bedraagt slechts 18,8 kN.
- Eindverankering bij dwarskrachtbreuk treedt slechts op bij een dwarskracht van 191,5 kN, terwijl de optredende dwarskracht de 18,8 kN niet overschrijdt.
- Aan de slankheidseis wordt voldaan met een λ van 6,85.

5 APPLICATIE

5.1 VOORWAARDE HECHTSTERKTE

Van cruciaal belang voor het kunnen garanderen van de werking van de lamel, is de hechting. Er moet een hechting van minimaal 1,5 N/mm^2 worden gerealiseerd om ervoor te zorgen dat de lamel zijn krachten aan het beton kan overdragen zonder daarbij te onthechten door het overschrijden van schuifspanningen.

Het meten van de hechtsterkte gebeurt door het uitvoeren van een trekproef, welke dient te worden uitgevoerd op een oppervlak wat aan de volgende eisen voldoet:

- geen defecten en scheuren aanwezig, kan indien benodigd vooraf worden hersteld met S&P herstelproducten;
- het oppervlak is opgeruwd;
- de dekking bedraagt minimaal 10 mm;
- de oppervlakte is stof- en verontreinigingsvrij.

Op 5 plaatsen dient een cilinder van diameter 50 mm en dikte 5 mm te worden uitgeboord. Van deze proefstukken dient de treksterkte bepaald te worden. De proefstukken worden op een stempel verlijmd waarna de hechtsterkte kan worden bepaald. Deze trekspanning kan gezien worden als de trekspanning die optreedt in de lamel, en die naar de betonconstructie wordt afgedragen. De hechtsterkte bedraagt de waarde die zorgt voor het overdragen van deze trekspanning naar het beton. De resultaten van de hechtsterkte proeven moeten voor de applicatie van de producten aan S&P Clever Reinforcement Company BV worden doorgegeven, ten aanzien van de kwaliteitsbewaking.

5.2 APPLICATIEVOORSCHRIFTEN

Voor het aanbrengen van de CFRP-lamellen wordt naar het S&P Applicatiehandboek in Bijlage 4 verwezen. Voor het aanbrengen van de lamellen gelden dezelfde eisen als eerder zijn vermeld.

Het oppervlak dient:

- defect en scheuringvrij te worden gemaakt, eventueel door toepassing van herstel / egalisatiemortel, zie ook Hoofdstuk 1 van Bijlage 4;
- effen te zijn en mag geen hoogteverschillen bevatten die meer bedragen dan 1 mm over een lengte van 30 cm, 5 mm over een lengte van 2 m;
- de oppervlakte is opgeruwd;
- de dekking bedraagt minimaal 10 mm;
- de oppervlakte is stof- en verontreinigingsvrij.
- de lijm bevat geen luchtbellen of verontreinigingen.

6. BIJLAGEN

- Bijlage 1 – "8815-N07 Uitgangspunten lijmwapening dd 27.06.2017", notitie opgesteld door ir. Coert Doomen van Van Rossum Raadgevende Ingenieurs.
- Bijlage 2 – Verificatie berekeningen uitgevoerd met de software *S&P FRP Lamella 5.5.2*, met beschrijving.

  - 2e en 3e Verdieping - Positie 1 (Veldmoment)
  - 2e en 3e Verdieping - Positie 2 (Veldmoment)

ordernummer: 8815
notitie: N07
blz: 1

VAN ROSSUM RAADGEVENDE INGENIEURS

NOTITIE N07

8815 – Bungehuis Amsterdam

27-06-2017

Uitgangspunten lijmwapening ter versterking van bestaande constructie Bungehuis te Amsterdam

Door de nieuw te boren sparingen dient de bestaande constructie van het Bungehuis te Amsterdam versterkt te worden. Deze versterking moet gemaakt worden met lijmwapening. In deze notitie staan de uitgangspunten voor de speficieke locaties op de 2e en 3e verdieping.

Order 8815

Blad nr

Deel

Datum

VAN ROSSUM RAADGEVENDE INGENIEURS

Belasting opgaven lijnwapening sparing k op 2e+3e verdieping

Situatie:

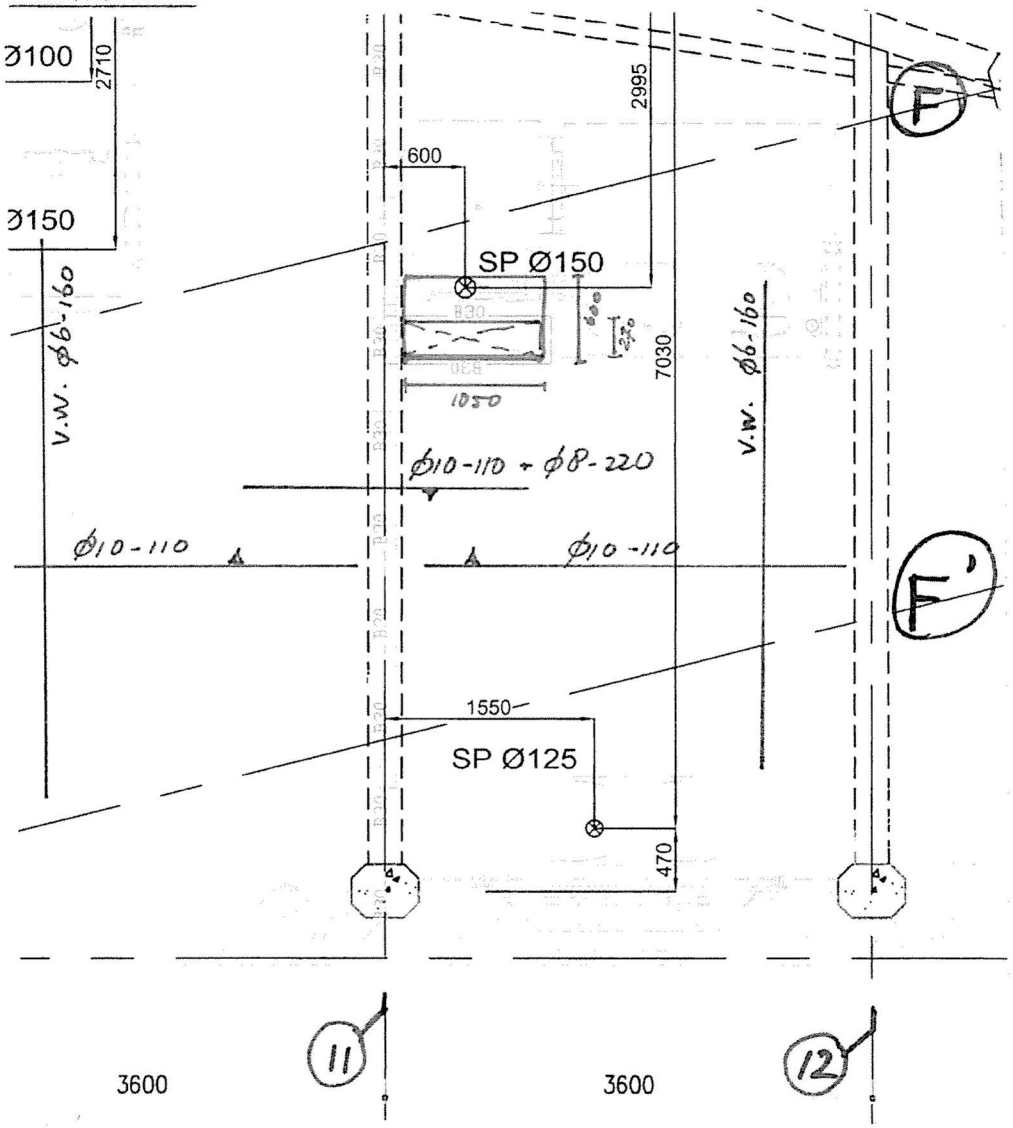

uitgangspunten:

C20/25
FeB220
Veld wapening Ø10-110
steunpunts wapening Ø10-110 + Ø8-220
verdeelwapening Ø6-160
dekking = 15 mm
balk: 250 x 600 (b x h)

belastingen:

Permanent: 3,5 kN/m²
Veranderlijk: 3,0 kN/m²

inclusief SP Ø150 (rode kader) voldoet de huidige wapening met voor de ontstane sparing + schacht

S&P FRP Lamella
Buigtrek- en dwarskrachtversterking met FRP-materiaal

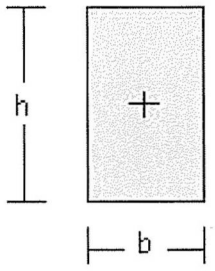

Doorsnede

Milieuklasse: droog

Geometrie

Rechthoek

b = 1000 [mm]
h = 90 [mm]

Beton

Sterkteklasse: C 20/25

f_{ck}	= 20	[N/mm²]	α_{cc}	= 1	[-]
ε_{cu}	= 3.5	[‰]	E_{cm}	= 29962	[N/mm²]
ε_{c2}	= 2	[‰]	f_{ctm}	= 2.21	[N/mm²]
			α_{ct}	= 1	[-]
γ_c	= 1.5	[-]			

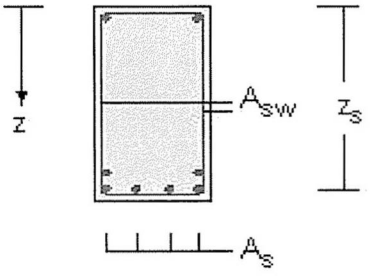

Staal

γ_s = 1.15 [-]

Wapening

Hoofdwapening

Nr.	A_s [mm²]	z_s [mm]	Staalsoort	f_{yk} [N/mm²]	E_s [N/mm²]	d_s [mm]
1	714	70	FeB 220	220	200000	10

Belastingen

Onversterkte toestand	Veldmoment		Drukkracht	
Gedurende de montage van de versterking	M_{Ek0} = 3.83	[kNm]	N_{Ek0} = 0	[kN]
Voorspanning (statisch bepaald)	M_{P0} = 0	[kNm]	N_P = 0	[kN]
Buigtrekzone al opengescheurd				

Versterkte toestand	Veldmoment		Drukkracht	
Uiterste grenstoestand	M_{Ed} = 8.77	[kNm]	N_{Ed} = 0	[kN]
Partiële veiligheidscoëfficiënten	$\gamma_{M,m}$ = 1.34	[-]	$\gamma_{N,m}$ = 0	[-]
Bruikbaarheidsgrenstoestand	M_{Ek} = 6.55	[kNm]	N_{Ek} = 0	[kN]
Bijzondere belastingscombinatie	M_{Ede} = 6	[kNm]	N_{Ede} = 0	[kN]

Buigversterking

FRP-systeem

S&P CFK 150/2000 **Opgelijmd**
S&P Resin 220

E_f	= 170000	[N/mm²]
f_{frep}	= 2800	[N/mm²]
ε_{frep}	= 16	[‰]
γ_m	= 1.3	[-]
γ_E	= 1	[-]
ε_{fu}	= 12.67	[‰]
$\varepsilon_{f,limiet}$	= 5	[‰]

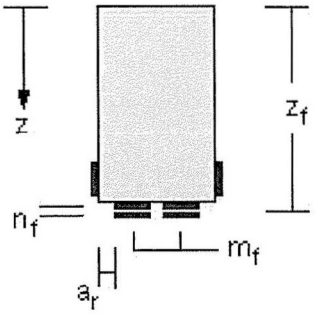

FRP-doorsnede

Nr.	Doorsnede [mm/mm]	n_f [Stk]	m_f [Stk]	s_f [mm]	A_f [mm²]	z_f [mm]
1	80 / 1.2	1	1	0	96	140

Berekeningsbasis **Eurocode 2**
CUR-Aanbeveling 91

Onversterkte toestand

Opneembaar moment van de onversterkte doorsnede

M_{Rd0} = 8.8 [kNm]
M_{Re0} = 10.2 [kNm]

Versterkte toestand

Versterkingsfactor: η_M = 0.99 [-]

Veiligheid zonder FRP-versterking: γ_{Me} = 1.71 [-]

krommingsindex: χ = 1.7 [-] ✓

Dimensionering

$A_{f,req}$ = 0 [mm²] M_{Ed} = 8.8 [kNm]
$A_{f,prov}$ = 96 [mm²] M_{Rd} = 18.6 [kNm]

Bewijs

M Rd > M Ed ✓
M Re0 > M Ede ✓

Scheurvorming volgens CUR'91 + NEN 6720

M_{Ek} = 6.55 [kNm]

gemiddelde kenmiddellijn

$Ø_{km,prov}$ = [mm]
$Ø_{km,max}$ = [mm]

staafafstand

s_{prov} = [mm]
s_{max} = [mm]

Bewijs

Voor de milieuklassen X0 en XC1

geen controle op de scheurvorming vereist

Initiële rek

$\varepsilon_c = 0$ [‰]
$x = 0$ [mm]

$\varepsilon_s = 0$ [‰]

Rek - uiterste grenstoestand ($A_{f,req}$)

$\varepsilon_c = 0$ [‰]
$x = 0$ [mm]

$\varepsilon_s = 0$ [‰]
$\varepsilon_f = 0$ [‰]

Rek / spanningen - bruikbaarheidsgrenstoestand ($A_{f,prov}$)

$\varepsilon_c = -0.315$ [‰]
$x = 29$ [mm]

$\varepsilon_s = 0.457$ [‰] $\varepsilon_{sy} = 0.957$ [‰] ✓
$\varepsilon_f = 1.229$ [‰]

Spanningen

Beton	$\sigma_{c,max}$	= -5.81	[N/mm²]
Betonstaal	$\sigma_{s,max}$	= 91.37	[N/mm²]
FRP-materiaal	$\sigma_{f,max}$	= 208.9	[N/mm²]

FRP-eindverankering

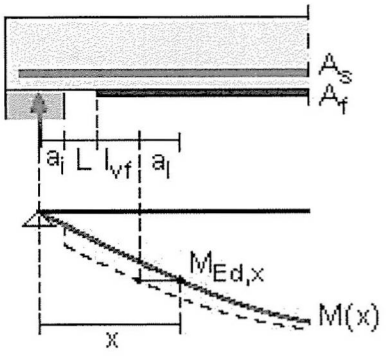

Geometrie oplegging

a_i	=	125	[mm]
a_l	=	47	[mm]

Hechtsterkte

f_{hm}	=	1.5	[N/mm²]

Inwendige krachten op punt x

x	=	625	[mm]
$M_{Ed,x}$	=	4	[kNm]
$N_{Ed,x}$	=	0	[kN]

Wapening op punt x

Nr.	A_s [mm²]	z_s [mm]
1	714	70

	FRP-trekkrachten	Max. draagvermogen		Vereiste verankeringslengte		
Nr.	$N_{fd,x}$ [kN]	N_{vfmax} [kN]	l_{vfmax} [mm]	N_{vf} (x) [kN]	l_{vf} (x) [mm]	L [mm]
1	13.05	15.5	330	13.05	199	254

Bewijs

N fd,x < N vfmax ✓

Verankeringscontrole in orde

Onthechting

Onthechting bij dwarskrachtscheuren

Eindpunt van de FRP-versterking

L	=	1	[mm]
x_u	=	173	[mm]
V_{du}	=	22	[kN]
V_{odu}	=	93.72	[kN]

Wapening op punt s

Nr.	A_s [mm²]	z_s [mm]
1	714	70

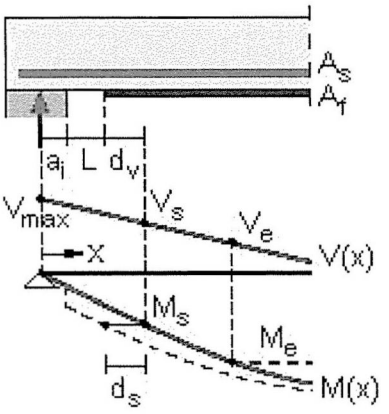

Onthechting door hoge schuifspanningen

Vloeipunt van de interne wapening

x_e	=	0	[mm]
$M_{0,e}$	=	4.32	[kNm]
M_e	=	13.4	[kNm]
V_{de}	=	1	[kN]
V_{osu}	=	8.59	[kN]

Wapening op punt e

Nr.	A_s [mm²]	z_s [mm]
1	714	70

Eindverankering-dwarskrachtbreuk

M_{dmax}	=	8.77	[kNm]
V_{dmax}	=	22	[kN]
V_{du}	=	22	[kN]
V_{ouu}	=	191.45	[kN]

λ_v	=	5.69	[-]
$\lambda_{v,min}$	=	1.01	[-]

Bewijs

V du < V odu V de < V osu

Eindverankering-dwarskrachtbreuk in orde ✓

S&P FRP Lamella
Buigtrek- en dwarskrachtversterking met FRP-materiaal

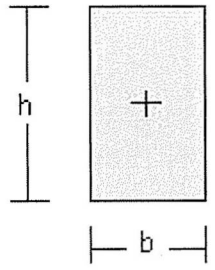

Doorsnede

Milieuklasse: droog

Geometrie

Rechthoek

b = 1000 [mm]
h = 90 [mm]

Beton

Sterkteklasse: C 20/25

f_{ck}	= 20	[N/mm²]	α_{cc}	= 1	[-]
ε_{cu}	= 3.5	[‰]	E_{cm}	= 29962	[N/mm²]
ε_{c2}	= 2	[‰]	f_{ctm}	= 2.21	[N/mm²]
			α_{ct}	= 1	[-]
γ_c	= 1.5	[-]			

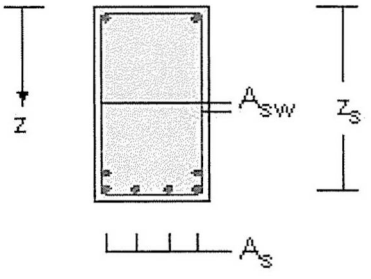

Staal

γ_s = 1.15 [-]

Wapening

Hoofdwapening

Nr.	A_s [mm²]	z_s [mm]	Staalsoort	f_{yk} [N/mm²]	E_s [N/mm²]	d_s [mm]
1	714	70	FeB 220	220	200000	10

Belastingen

Onversterkte toestand	Veldmoment		Drukkracht	
Gedurende de montage van de versterking	M_{Ek0} = 4.35	[kNm]	N_{Ek0} = 0	[kN]
Voorspanning (statisch bepaald)	M_{P0} = 0	[kNm]	N_P = 0	[kN]
Buigtrekzone al opengescheurd				

Versterkte toestand	Veldmoment		Drukkracht	
Uiterste grenstoestand	M_{Ed} = 9.02	[kNm]	N_{Ed} = 0	[kN]
Partiële veiligheidscoëfficiënten	$\gamma_{M,m}$ = 1.34	[-]	$\gamma_{N,m}$ = 0	[-]
Bruikbaarheidsgrenstoestand	M_{Ek} = 6.74	[kNm]	N_{Ek} = 0	[kN]
Bijzondere belastingscombinatie	M_{Ede} = 6.5	[kNm]	N_{Ede} = 0	[kN]

Buigversterking

FRP-systeem

S&P CFK 150/2000 **Opgelijmd**
S&P Resin 220

E_f	= 170000	[N/mm²]
f_{frep}	= 2800	[N/mm²]
ε_{frep}	= 16	[‰]
γ_m	= 1.3	[-]
γ_E	= 1	[-]
ε_{fu}	= 12.67	[‰]
$\varepsilon_{f,limiet}$	= 5	[‰]

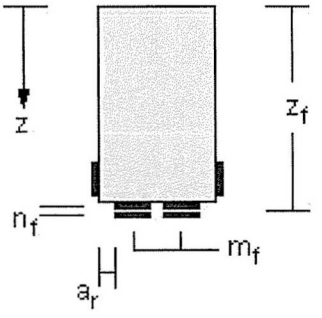

FRP-doorsnede

Nr.	Doorsnede [mm/mm]	n_f [Stk]	m_f [Stk]	s_f [mm]	A_f [mm²]	z_f [mm]
1	80 / 1.2	1	1	0	96	140

Berekeningsbasis **Eurocode 2**
CUR-Aanbeveling 91

Onversterkte toestand

Opneembaar moment van de onversterkte doorsnede

M_{Rd0} = 8.8 [kNm]
M_{Re0} = 10.2 [kNm]

Versterkte toestand

Versterkingsfactor: η_M = 1.02 [-]

Veiligheid zonder FRP-versterking: γ_{Me} = 1.57 [-]

krommingsindex: χ = 2.07 [-] ✓

Dimensionering

$A_{f,req}$ = 5 [mm²] M_{Ed} = 9 [kNm]
$A_{f,prov}$ = 96 [mm²] M_{Rd} = 18.8 [kNm]

Bewijs

M Rd > M Ed ✓
M Re0 > M Ede ✓

Scheurvorming volgens CUR'91 + NEN 6720

M_{Ek} = 6.74 [kNm]

gemiddelde kenmiddellijn

$Ø_{km,prov}$ = [mm]
$Ø_{km,max}$ = [mm]

staafafstand

s_{prov} = [mm]
s_{max} = [mm]

Bewijs

Voor de milieuklassen X0 en XC1

geen controle op de scheurvorming vereist

Initiële rek



ε_c = -0.289 [‰]
x = 26 [mm]

ε_s = 0.497 [‰]

Rek - uiterste grenstoestand ($A_{f,req}$)

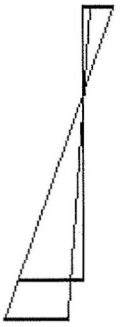

ε_c = -1.184 [‰]
x = 22 [mm]

ε_s = 2.55 [‰]
ε_f = 5 [‰]

Rek / spanningen - bruikbaarheidsgrenstoestand ($A_{f,prov}$)



ε_c = -0.41 [‰]
x = 27 [mm]

ε_s = 0.663 [‰] ε_{sy} = 0.957 [‰] ✓
ε_f = 0.453 [‰]

Spanningen

Beton	$\sigma_{c,max}$	= -7.36	[N/mm²]
Betonstaal	$\sigma_{s,max}$	= 132.68	[N/mm²]
FRP-materiaal	$\sigma_{f,max}$	= 77.06	[N/mm²]

FRP-eindverankering

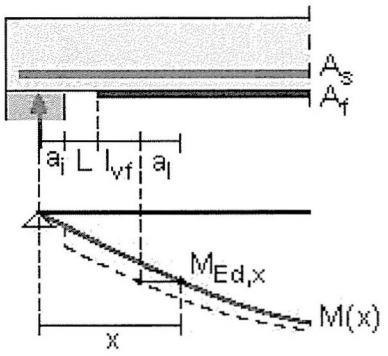

Geometrie oplegging

a_i	=	125	[mm]
a_l	=	47	[mm]

Hechtsterkte

f_{hm}	=	1.5	[N/mm²]

Inwendige krachten op punt x

x	=	625	[mm]
$M_{Ed,x}$	=	4	[kNm]
$N_{Ed,x}$	=	0	[kN]

Wapening op punt x

Nr.	A_s [mm²]	z_s [mm]
1	714	70

	FRP-trekkrachten	Max. draagvermogen		Vereiste verankeringslengte		
Nr.	$N_{fd,x}$ [kN]	N_{vfmax} [kN]	l_{vfmax} [mm]	N_{vf} (x) [kN]	l_{vf} (x) [mm]	L [mm]
1	13.05	15.5	330	13.05	199	254

Bewijs

N fd,x < N vfmax ✓

Verankeringscontrole in orde

Onthechting

Onthechting bij dwarskrachtscheuren

Eindpunt van de FRP-versterking

L	=	254.1	[mm]
x_u	=	426	[mm]
V_{du}	=	18.8	[kN]
V_{odu}	=	93.72	[kN]

Wapening op punt s

Nr.	A_s [mm²]	z_s [mm]
1	714	70

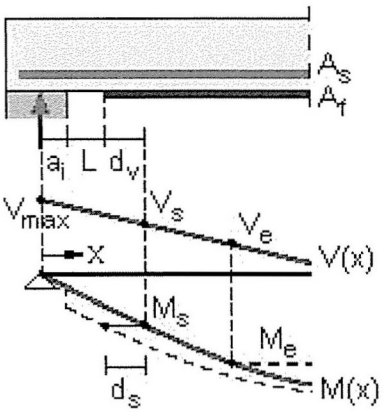

Onthechting door hoge schuifspanningen

Vloeipunt van de interne wapening

x_e	=	0	[mm]
$M_{0,e}$	=	4.32	[kNm]
M_e	=	13.4	[kNm]
V_{de}	=	1	[kN]
V_{osu}	=	8.67	[kN]

Wapening op punt e

Nr.	A_s [mm²]	z_s [mm]
1	714	70

Eindverankering-dwarskrachtbreuk

M_{dmax}	=	9.02	[kNm]
V_{dmax}	=	18.8	[kN]
V_{du}	=	18.8	[kN]
V_{ouu}	=	47.95	[kN]

λ_v	=	6.85	[-]
$\lambda_{v,min}$	=	4.63	[-]

Bewijs

V du < V odu V de < V osu

Eindverankering-dwarskrachtbreuk in orde ✓